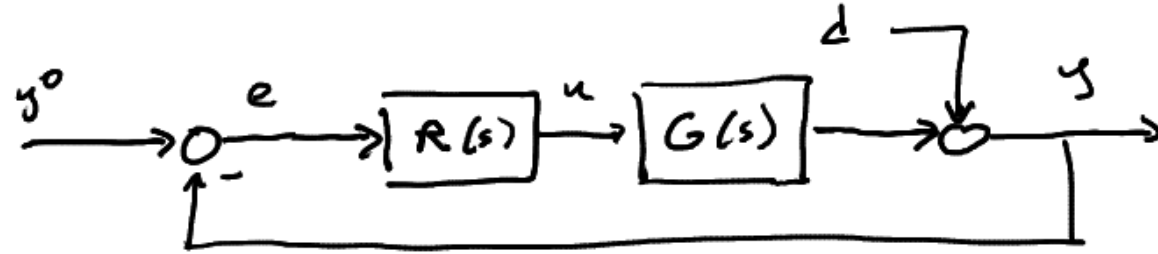


Controllori PID

Controllori PID



Legge di controllo PID nel tempo

$$u(t) = \underbrace{k_p e(t)}_{\text{Proporzionale}} + \underbrace{k_I \int_0^t e(\tau) d\tau}_{\text{Integrale}} + \underbrace{k_D \frac{de(t)}{dt}}_{\text{Derivativa}} \quad (*)$$

AZIONI: Proporzionale Integrale Derivativa

Ipotesi (non limitativa): guadagno di $G(s)$ positivo

Parametri di progetto:

$k_p \geq 0$	coefficiente dell'azione	proporzionale
$k_I \geq 0$	"	integrale
$k_D \geq 0$	"	derivativa

FDT del controllore PID

Da (*) , con $e(0)=0$ si ottiene

$$R_{PID}(s) = \frac{U(s)}{E(s)} = \underbrace{K_P}_{R_P(s)} + \underbrace{\frac{K_I}{s}}_{R_I(s)} + \underbrace{K_D s}_{R_D(s)} = \frac{K_D s^2 + K_P s + K_I}{s}$$

- Oss.
- R_{PID} ha due zeri a parte reale ≤ 0 e un integratore : è una fdt impropria
 - Azione integrale \rightarrow robusta regolazione a zero dell'errore (per setpoint a scalino)
 \rightarrow reiezione robusta di disturbi $d(t)$ a scalino
 - Azione derivativa : introduzione di uno zero \rightarrow ampliamento della banda passante

Parametrizzazione alternativa

$$R_{PID}(s) = K_P \left(1 + \frac{1}{T_I s} + T_D s \right) = K_P \frac{T_I T_D s^2 + T_I s + 1}{T_I s}$$

$$T_I = \frac{K_P}{K_I} = \text{tempo integrale}$$

$$T_D = \frac{K_D}{K_P} = \text{tempo derivativo}$$

} Parametri usati spesso in ambito industriale

↳ Se $T_I \geq 4 T_D$ si ottengono zeri reali

PID reale (regolatore proprio)

Rimpiazzare $R_D(s)$ con $R_D(s) = K_P \frac{s T_D}{1 + \frac{T_D}{N} s}$ ove $N \geq 0$ e $\frac{N}{T_D} \gg \omega_c$

Oss. Il polo aggiuntivo rende $R_{PID}(s)$ proprio e mantiene ω_c e φ_m quasi identiche

↳ Si progetta il PID ideale e si aggiunge il polo a posteriori (controllando che φ_m rimanga adeguato)

Perché i controllori PID sono diffusi?

- Semplice realizzazione in diverse tecnologie (e.g. elettronica, meccanica)
- Efficacia in molti processi industriali
- Semplicità di taratura dei parametri

↳ esistono metodi di taratura automatica che non richiedono di conoscere un modello del sistema sotto controllo

Sottotipi notevoli di regolatori

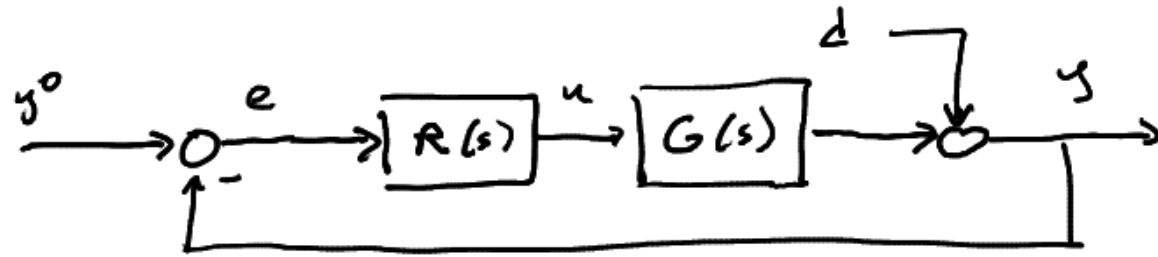
Regolatore P: $R_P(s) = K_P$. → Se non è necessaria l'azione integrale per le prestazioni statiche

Regolatore I: $R_I(s) = \frac{K_I}{s}$

Regolatore PI: $R_{PI}(s) = K_P + \frac{K_I}{s} = \frac{sK_P + K_I}{s}$ → Ampliamento

della banda passante in anello chiuso rispetto a $R_I(s)$

Taratura dei PID tramite la sintesi per tentativi



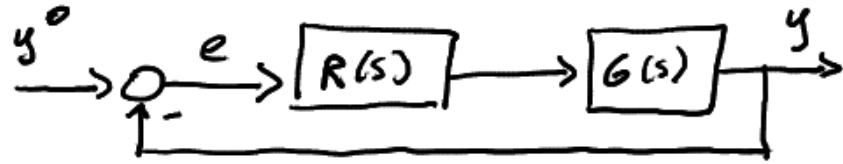
$$R_{PID} = \mu_R \frac{(\tau_1 s + 1)(\tau_2 s + 1)}{s}$$

Bisogna scegliere solo il guadagno e la posizione dei due zeri

Linee guida

- Gli zeri cancellano poli a sinistra di $G(s)$
- Il guadagno è tarato in modo da verificare specifiche dinamiche

Esempio



$$G(s) = 0.1 \frac{e^{-3s}}{(1+5s)(1+20s)}$$

Progettare un regolatore di tipo PID tale che

(R1) $e_{\infty} = 0$ per $y^o(t) = A \operatorname{sca}(t)$, $t \geq 0$, $\forall A \in \mathbb{R}$

(R2) $\varphi_m \geq 40^\circ$

(R3) la banda passante in anello chiuso sia massima possibile

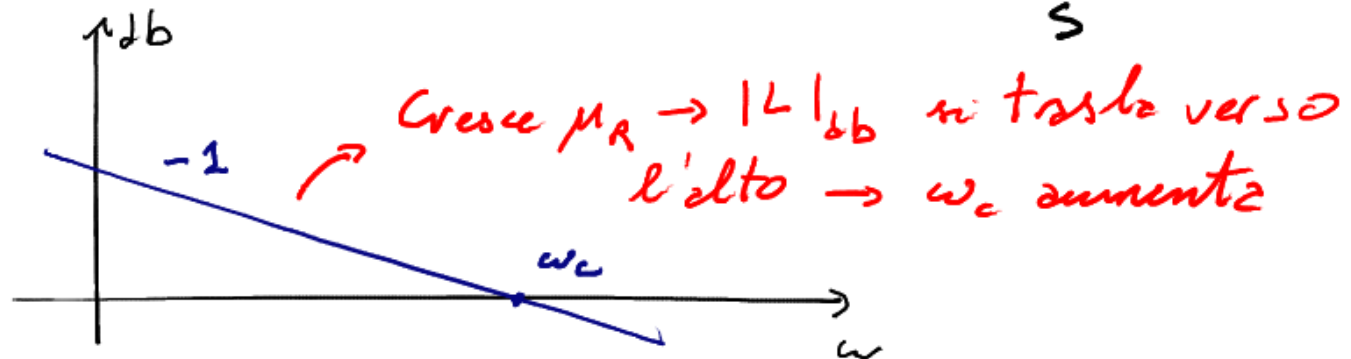
$$R(s) = \frac{\mu_R}{s} (s\tau_1 + 1) (s\tau_2 + 1)$$

Progetto statico

La fdt $y^0 \rightarrow e$ e $S(s) \rightarrow$ Requisito (R1) verificato grazie all'integratore

Progetto dinamico

Ponendo $\tau_1 = 5$ e $\tau_2 = 20$ si ha $L(s) = R(s)G(s) = \frac{0.1 \mu_R}{s} e^{-3s}$



Calcolo di ω_c in funzione di μ_R : $\left| \frac{0.1 \mu_R}{s \omega_c} \right| = 1 \rightarrow \omega_c = 0.1 \mu_R$

$$\varphi_m = 180^\circ - \left| -90^\circ - 0.1 \cdot \mu_R \cdot 3 \cdot \frac{180}{\pi} \right| = 90^\circ - 0.3 \mu_R \frac{180}{\pi}$$

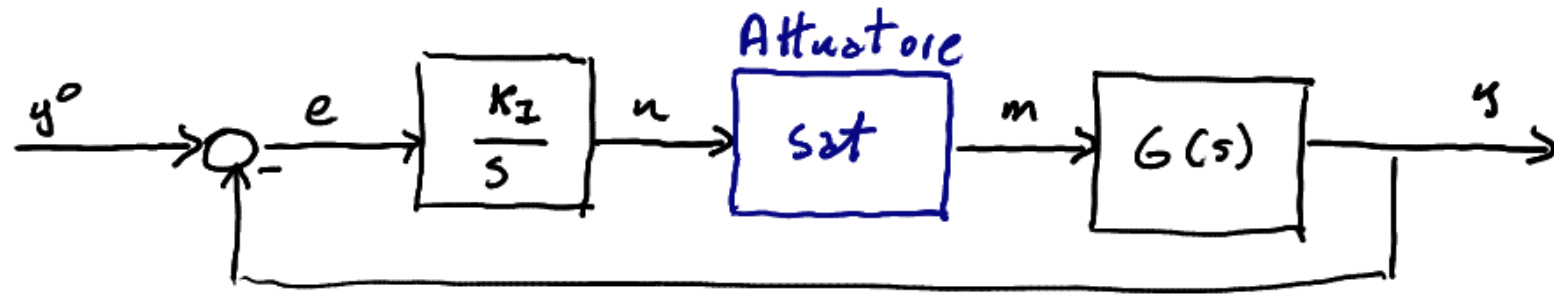
↳ per avere $\varphi_m \geq 40$ si ha $\mu_R \leq \frac{50 \cdot \pi}{0.3 \cdot 180} = 2.9$

Regolatore finale: $\frac{2.9}{s} (1+5s) (1+20s)$. → Trovare i parametri K_P, K_I e K_D a caso.

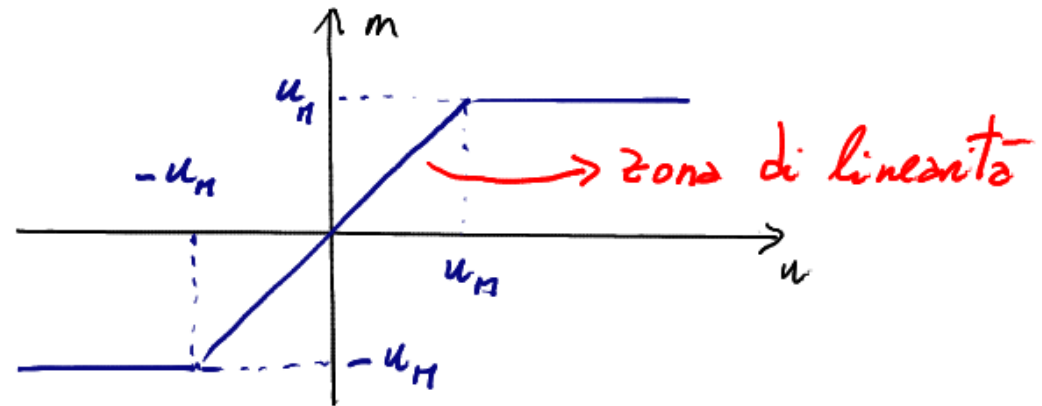
Realizzazione industriale dei controllori PI

Desaturazione dell'azione integrale

Schema con regolatore integrale e saturazione dell'attuatore

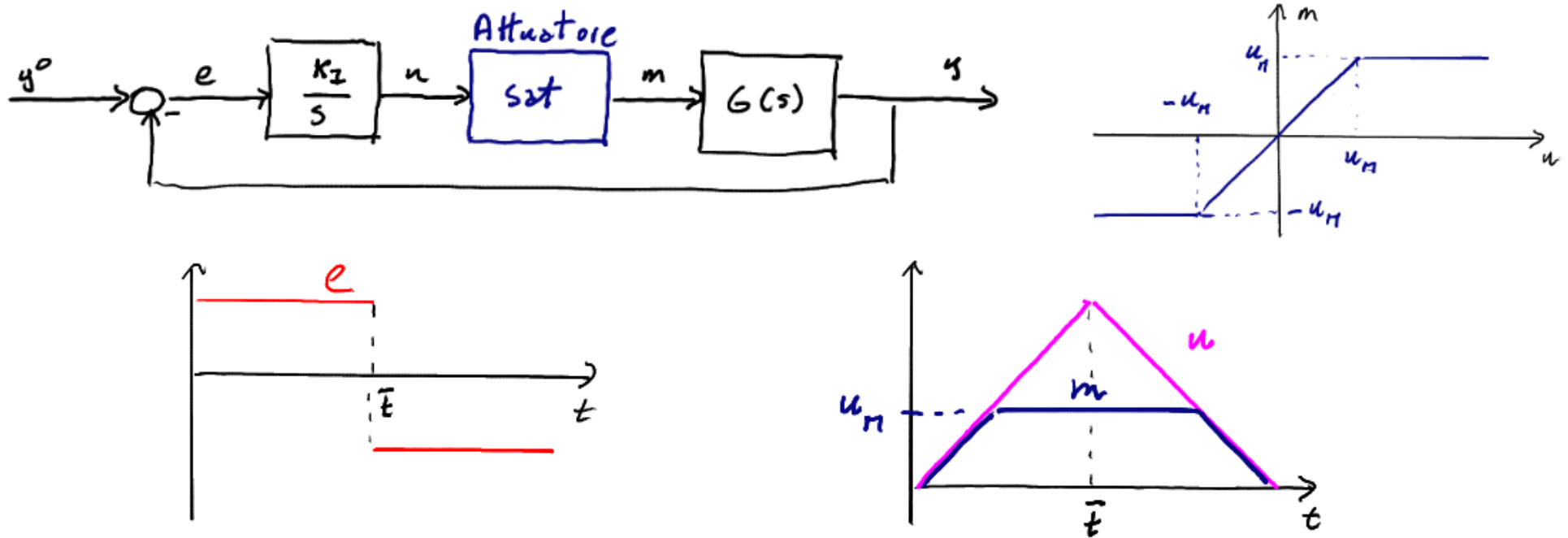


Blocco nonlineare $m(t) = \text{sat}(u(t))$



Problema

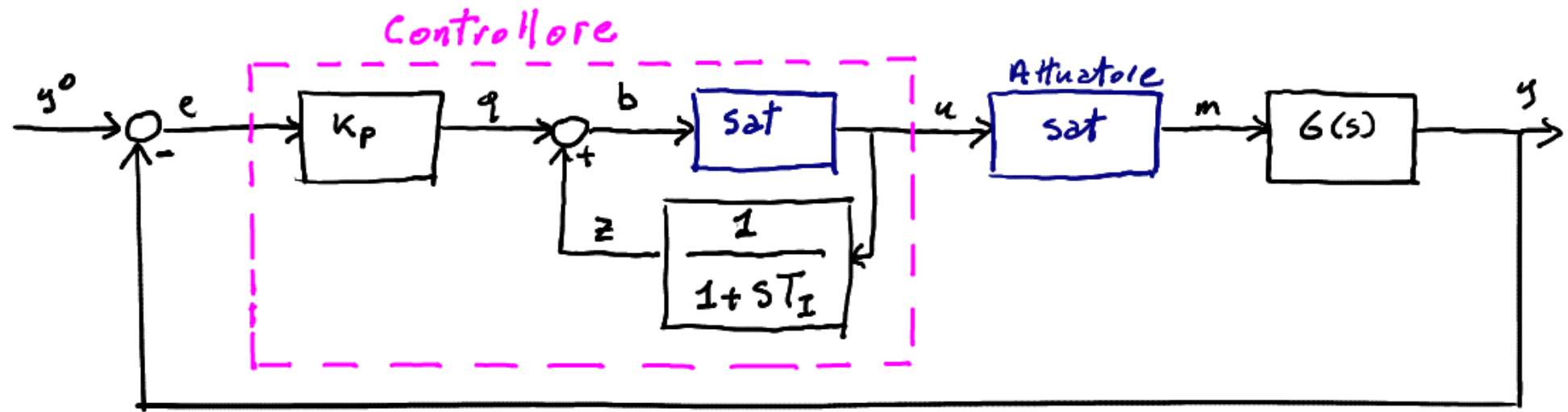
Se $e(t) > 0$ per un certo tempo, $u(t)$ cresce e $m(t)$ satura al valore u_M .
Quando $e(t)$ diventa < 0 , $u(t)$ decresce ma $m(t) = u_M$ finché $u(t) > u_M$.



Fenomeno del wind-up: indesiderato. Si vorrebbe $m(t) \leq u_M$ non appena $e(t)$ cambia segno

- Oss.
- Stesso problema se $e(t)$ passa da < 0 a ≥ 0 dopo lungo tempo
 - Fenomeno presente anche se $R(s)$ è più complicato (e.g. PI o PID)
↳ basta che contenga un integratore

Schema di desaturazione (anti-windup) per PI



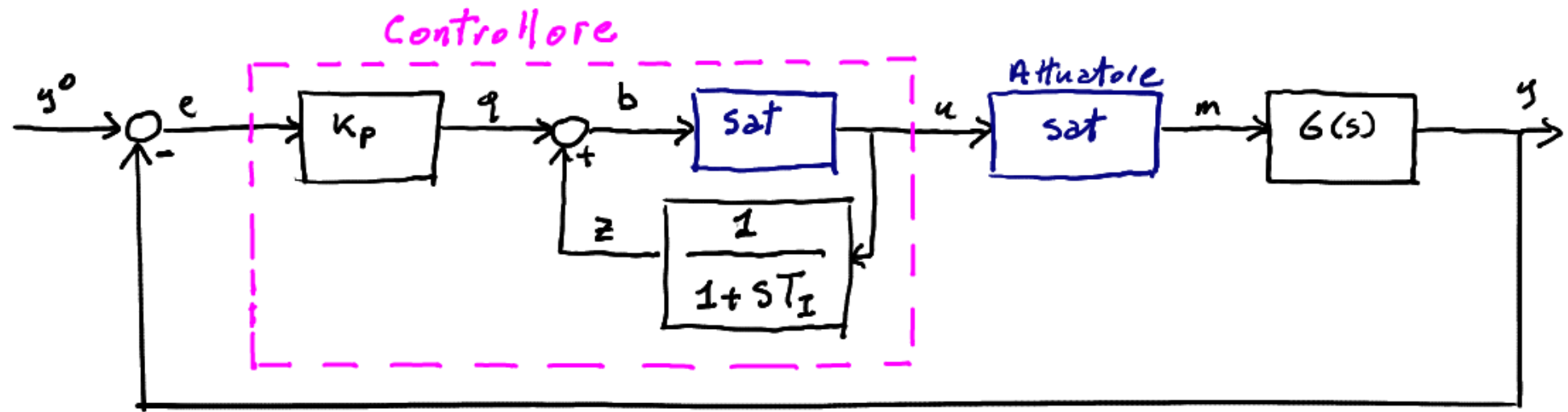
Se le saturazioni operano in zona di linearità ($\text{sat}(x) = x$)

- il blocco sat è equivalente ad un blocco con fdt uguale a 1
- la fdt $e \rightarrow u$ è

$$\frac{u(s)}{e(s)} = \frac{1}{1 - \frac{1}{1+sT_I}} K_p = K_p \frac{1+sT_I}{sT_I}$$

→ fdt del PI

Schema di desaturazione (anti-windup) per PI



Supponiamo $K_p > 0$

- Se $e(t) > 0$ per un certo tempo, quando $b(t) > u_M$ si ha $u(t) = u_M$ e $z(t)$ tende a u_M ($z(t)$ è l'uscita di $\frac{1}{1+sT_I}$)
- Non appena $e(t)$ diventa < 0 , $q(t)$ diventa $< 0 \rightarrow b(t) = q(t) + z(t)$ diventa $< u_M \rightarrow u(t)$ esce dalla zona di saturazione

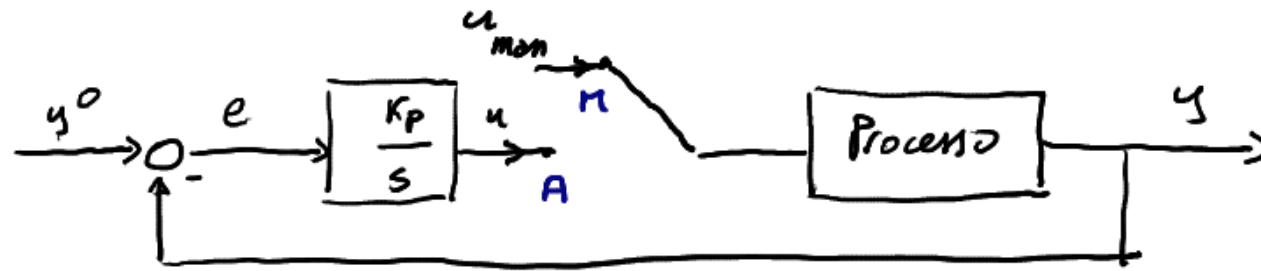
- Oss.
- Si è replicata la funzione di saturazione del controllore nell'attuatore
 - L'idea è di "caricare" lo stato di $\frac{1}{1+sT_I}$ in modo che $u(t)$ sia simile a $m(t)$
 - Esistono schemi anti-windup per controllori generici con azione integrale

Oss. Si progetta il controllore PI come se la saturazione non esistesse e lo si *implementa* come nello schema precedente

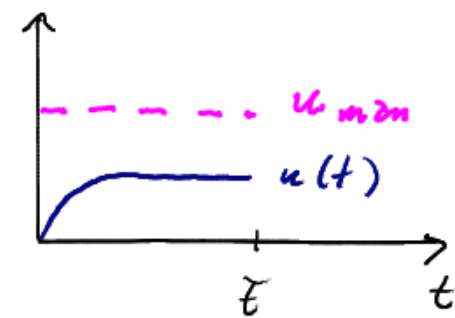
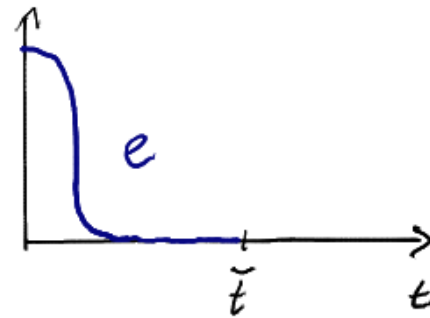
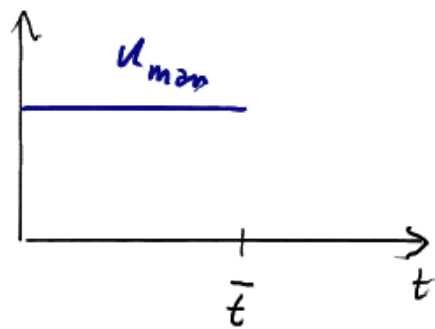
Inserimento morbido della regolazione automatica

- Componenti nonlineari \rightarrow linearizzazione attorno a un Punto di Funzionamento Nominale (PFN) \rightarrow progetto di $R(s)$ \rightarrow $R(s)$ è efficace quando il sistema opera nell'intorno del PFN
- Fase di avviamento dell'impianto
 - 1) Controllo manuale del processo per portarlo nell'intorno del PFN
 - 2) Commutazione al controllo automatico
- Passaggio da (1) a (2) al tempo \bar{t} : si vuole che $R(s)$ produca subito $u(\bar{t})$ molto simile a $u_{man}(\bar{t}^-)$ (u_{man} indica il controllo manuale)
 - \hookrightarrow inserimento "morbido"
 - \hookrightarrow problema simile a quello del wind-up
 - \hookrightarrow Idea: "caricare" lo stato del regolatore in modo che la sua uscita sia simile al valore del controllo manuale

Esempio

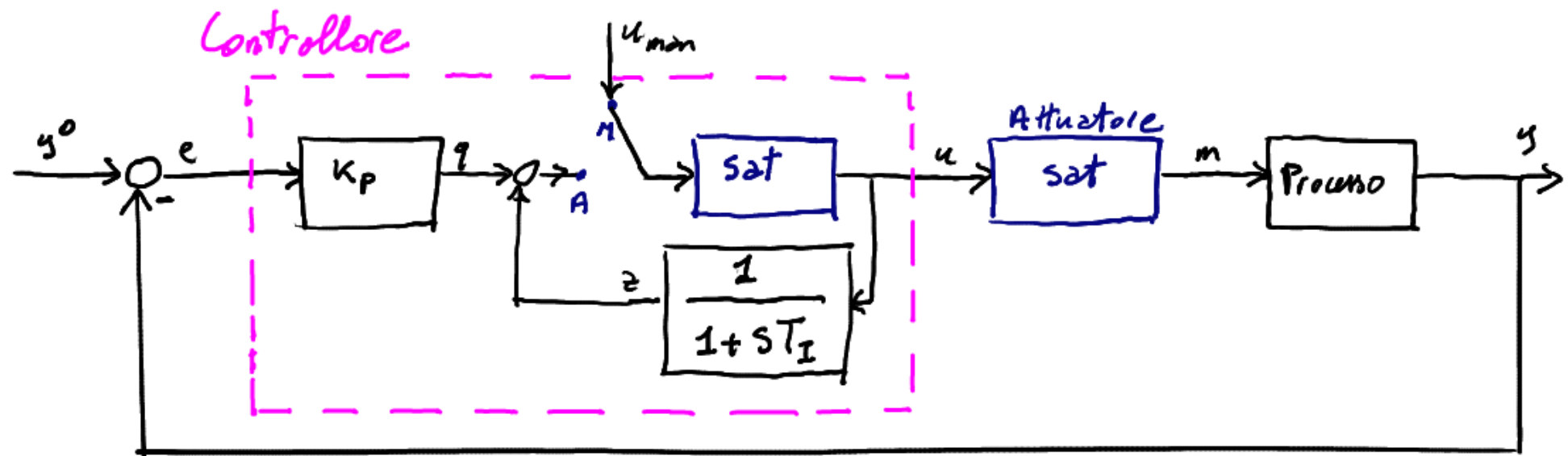


Supponiamo che u_{max} sia costante e partì rapidamente l'uscita del processo a $y(t) = y^0$ (costante)



$u_{max}(\bar{t}) \neq u(\bar{t}) \rightarrow$ se a \bar{t} si commuta da M ad A , l'inserimento non è morbido

Schema con anti-windup e inserimento morbido per PI

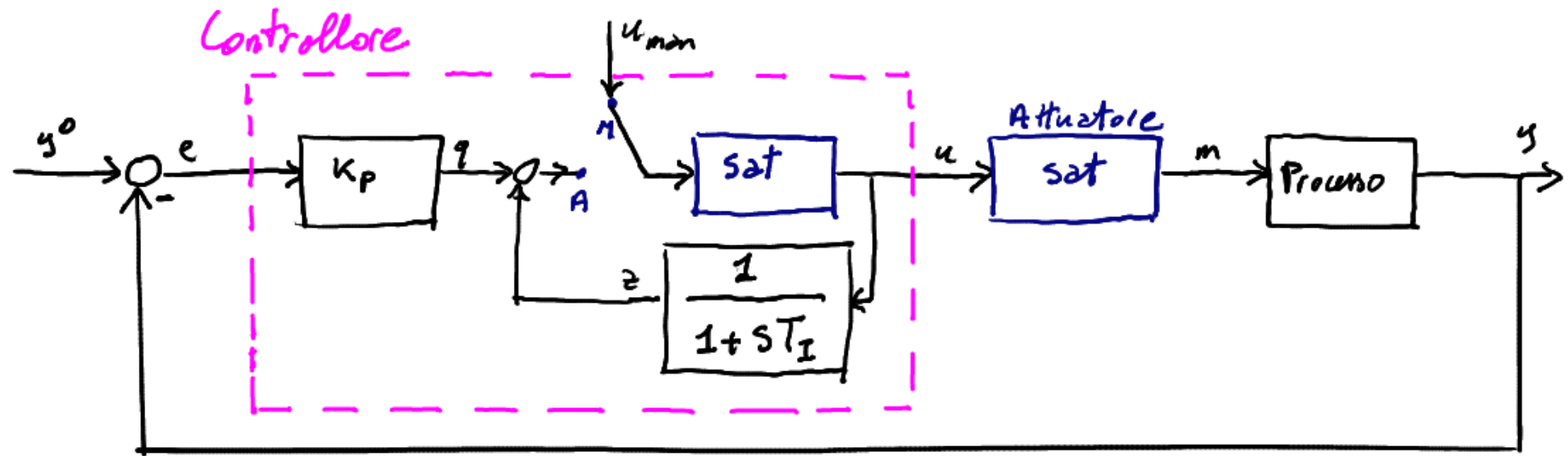


- A, M : posizione dell'interruttore in modo automatico e manuale
- u_{man} : controllo manuale ($|u_{man}| < |u_M|$, $u_M =$ valore di saturazione)

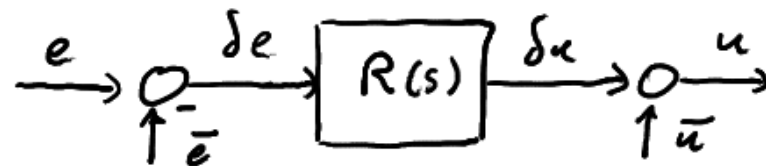
Logica di funzionamento (\bar{t} = istante di commutazione da M ad A)

- y^0 costante. Se u_{man} è costante allora $z(\bar{t}^-) \approx u_{man}$
- Se $e(\bar{t}) = 0$, si ha $y(\bar{t}) = y^0$ e $q(\bar{t}) = 0$. quindi
 $u(\bar{t}) = 0 + u_{man} = u_{man} \rightarrow$ inserimento morbido

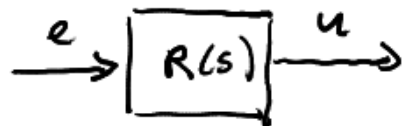
Schema con anti-windup e inserimento morbido per PI



Oss. Con l'inserimento morbido, anche se il regolatore è basato sul sistema linealizzato, non lo si implementa come



ma come



Intuitivamente, l'azione integrale nel regolatore lo porta automaticamente al PFN per $t \geq \bar{t}$, cioè ad avere $e(\bar{t}) = 0$ e $u(\bar{t}) = \bar{u} \rightarrow$ PFN

Commenti

- Anche per l'inserimento morbido, si progetta il regolatore PI come se il passaggio manuale/automatico non esistesse e lo si implementa come nello schema precedente
- Esistono varianti dello schema per regolatori più generali (ad es. PID) purché contengano un'azione integrale.